

بررسی کارایی نانو کامپوزیت های PAn/PVC (Ps) سنتز شده به منظور جذب سطحی کاتیون های فلزی

محبوبه محمد طاهری^۱، ضحی وطنی^{*}^۱، حسین عیسی زاده^۲

^۱پژوهشگاه صنعت نفت، تهران، ایران

^۲دانشکده مهندسی شیمی، دانشگاه نوشیروانی بابل، مازندران، ایران

تاریخ پذیرش: ۹۷/۰۴/۱۸

تاریخ تصحیح: ۹۷/۰۴/۱۳

تاریخ دریافت: ۹۶/۱۱/۰۸

چکیده

پلی آنیلین و نانو کامپوزیت های آن به روش پلیمریزاسیون اکسایشی شیمیایی مونومر آنیلین به کمک اکسیدانت پناسیم یدات سنتز شده اند. در این پژوهش مورفولوژی و ساختار شیمیایی نانو کامپوزیت های سنتز شده پلی آنیلین/پلی استیرن و پلی آنیلین/پلی وینیل کلراید مورد بررسی قرار گرفته است. همچنین توانایی انها به عنوان جاذب برای جداسازی کاتیون های فلزی سرب و روی از محلول آبی بررسی شده است. به منظور جذب سطحی یونهای فلزی از محلول آبی از یک سیستم اختلاط کامل نایپوسته (Batch) استفاده شده و پارامترهای مختلفی از قبیل pH محلول، زمان تماس و غلظت آلاند های کاتیونی مورد بررسی قرار گرفته است. نتایج نشان می دهد که بیشترین درصد جذب برای کاتیون های روی و سرب توسط جاذب پلی آنیلین/پلی وینیل کلراید به ترتیب ۹۵/۸۶ و ۹۳/۴ محسوسه شده است. شرایط بهینه جذب کاتیون سرب به کمک جاذب پلی آنیلین/پلی وینیل کلراید ۷ pH غلظت کاتیون ۱۰۰ میلی گرم بر لیتر و زمان تماس ۳۰ دقیقه بدست آمده است. همچنین بررسی معادلات اینوترم جذب نشان داده است که معادله فرننلیج با داده های آزمایشگاهی سازگاری بهتری نشان داده است.

کلمات کلیدی: کاتیون های فلزی، پلی آنیلین، پلی وینیل کلراید، پلی استیرن، جذب سطحی.

۱- مقدمه

پلی آنیلین عمدهاً به روش های شیمیایی، الکترو شیمیایی و کلوئیدی و بصورت فیلم و پودر سنتز می شود و شرایط واکنش از قبیل میزان نسبت اکسنده به مونومر، نوع اکسنده، نوع حلal و اسید، دما و pH محلول بر روی خواص پلیمر تهیه شده از قبیل رسانایی و مورفولوژی آن تأثیر بسزایی دارد [۱].

روشهای متعدد برای بهبود خواص فرآیند پذیری و کاربردی پلی آنیلین ارائه شده است. استفاده از گروههای تابعی یا زنجیرهای بلند آلکیلی روی حلقه آروماتیکی آنیلین می تواند منجر به مشتقانی از پلی آنیلین با حلایت بالا در حلایهای آلی و حتی در آب شود، ولی برخی از خصوصیات آنها مثلاً هدایت الکتریکی برخی از این مشتقان نسبت به پلی آنیلین کمتر است. ترکیب پلی آنیلین با دیگر پلیمرهای تجاری و متداول راهی دیگر برای بهبود دادن به خواص کاربردی و فرآیند پذیری پلی آنیلین می باشد. مطالعات متعددی دیگری بر روی ترکیب پلی آنیلین با پلیمرهای متداول مانند پلی متیل متان آکریلات و پلی ارتان و پلی وینیل کلرايد گزارش شده است [۲].

همچنین گزارشات بسیاری در خصوص ترکیب پلی آنیلین با پلی استیرن ارائه شده که علت انتخاب پلی استیرن به عنوان ماتریس پلیمری فرآیند پذیری بالا و رفتار مکانیکی رضایت بخش آن می باشد. در مطالعات دیگر تاثیر روش آماده سازی ترکیب پلی آنیلین با پلی استیرن روی مورفولوژی و خواص الکتریکی توسط Bae و همکارانش بررسی شده است [۳]. میرحسینی و همکارانش در سال ۲۰۰۸ [۴] مورفولوژی و حلایت کامپوزیت پلی آنیلین / پلی استیرن را مورد بررسی قرار داده اند. مزیت تهییه ترکیب پلیمرهای هادی با پلیمرهای تجاری با عملکرد بالا، افزایش بازده این پلیمرها است. یکی از این پلیمرهای تجاری که ترکیب آن با پلیمرهای هادی بسیار مورد توجه قرار گرفته، پلی (وینیل کلرايد) بخاطر توانایی منحصر به فرد آن از جمله بسیار انعطاف پذیر بالا و دارا بودن سطح همواره و سازگاری آن با انواع مختلف مواد افزودنی، بیشتر از سایر پلیمرهای تجاری مورد توجه قرار گرفته است. Ameena و همکارانش در سال ۲۰۰۸ تلاش کردند تا خواص مکانیکی پلی (وینیل کلرايد) را با خواص الکتریکی پلی آنیلین ترکیب کرده و کاربردهای ترکیب حاصل را افزایش دهند [۵]. در مطالعه دیگری توسط Chiang Chen و همکارانش در سال ۲۰۰۹، آماده سازی پلی آنیلین روی سطح ذرات پلی استیرن توسط پلیمریزاسیون اکسیداسیونی شیمیایی درجا مورد بررسی قرار گرفته است [۶].

یکی از علل فرآیند پذیری پایین پلی آنیلین آن است که پلی آنیلین خشک و شکننده می باشد و برهمکنش پیوند هیدروژنی بین آمین و گرو آمینو بسیار مستحکم است. دیدگاههای زیادی برای غلبه بر این مشکل وجود دارد از جمله یکی از این روشها ساخت شکل کلوییدی برای پلی آنیلین می باشد. مطالعات زیادی انجام شده که نشان دهنده آنست که سنتز ذرات کلوییدی با لایه نازکی از پلیمرهای هادی که روی سطح آن ذرات پوشانده شده می تواند به راحتی در فرآیند قالب گیری استفاده شود [۷]. یکی از بروزترین کاربردهای پلی آنیلین استفاده از آنها در فرآیند جذب سطحی فلزات سنگین می باشد. جذب فلزات سنگین توسط پلیمرهای متعددی توسط گروههای تحقیقاتی مختلف مورد بررسی قرار گرفته است [۸-۱۱]. در سال ۲۰۱۳، عیسی زاده و همکارانش به بررسی توانایی حذف کاتیون سرب از محلول آبی با استفاده از پلی آنیلین پرداختند [۱۲]. آنها نشان دادند که در pH=11 و غلظت ۱۰ گرم بر لیتر از جاذب و زمان تماس ۴۵ دقیقه برای نانو کامپوزیت ها بیشترین مقدار

جذب را دارند. بنابراین این پارامتر در این مقادیر بهینه شدند. همچنین آنها نشان دادند که بهترین مکانهای جذب برای کاتیون‌ها اتم‌های نیتروژن و اکسیژن در کامپوزیت‌ها می‌باشند. زیرا این اتم‌ها دارای جفت الکترون آزاد بوده که می‌توانند با کاتیون موجود در محیط تشکیل کمپلکس دهند. در این مطالعه نانوکامپوزیت پلی‌آنیلین با پلی‌استیرن و پلی‌وینیل کلرايد سنتز شده و خواص حرارتی و مورفولوژی انها بررسی شده است. همچنین کارائی نانوکامپوزیت‌های فوق جهت جذب سطحی کاتیون‌های فلزی مورد ارزیابی قرار گرفته است.

۲- مواد و روش‌ها

۱-۱- مواد و دستگاه

مواد شیمیایی بکاربرده شده در این پژوهش عبارتند از : مونومر آنیلین (d=1.02g/mL, Merck, Germany) ، مونومر استیلن (PVC, M_w=6200, Sigma-Aldrich, England) ، پودر پلی‌وینیل کلرايد (d=0.906g/mL, Merck, Germany) آمونیوم پر سولفات (APS, Merck, Germany) و اسید سولفوریک (M_w=214, Merck, Germany) و اسید سولفوریک٪۹۸ (Merck) تمامی مواد شیمیایی با خلوص بالا تهیه شده اند و تنها مونومر آنیلین نیاز به دو بار تقطیر جهت خالص سازی دارد. دستگاه های استفاده شده در این پژوهش عبارتند از : همزن مغناطیسی (MK20,Germany) ، دستگاه تقطیر (DW2, HANNA-211,Italy) ، pH متر (FR200, Germany) ، ترازوی دیجیتال (Z36HK, Germany) ،England سانتریفیوژ (VEATOR 22 , Germany) . (Varian Spectra AA.200, Australia) ، دستگاه جذب اتمی

میکروسکوپ	الکترونیکی	روبوشی(Germany)	سنجد	فرو	سرخ
-----------	------------	-----------------	------	-----	-----

۲-۲- سنتز پلی‌آنیلین

۱۰۰ میلی‌لیتر از محلول اسید سولفوریک یک مولار را درون اrlen ریخته و یک گرم یدات پتابسیم که آغازگر واکنش است به آن اضافه نموده و سپس ۱ میلی‌لیتر از آنیلین دوبار تقطیر شده به آن تزریق شده است. واکنش در دمای محیط و به مدت ۵ ساعت انجام شده است.. با تزریق مونومر آنیلین، محلول تغییر رنگ داده و بعد از چند دقیقه همزدن رنگ آن ابتدا بنفش کم رنگ و سپس به رنگ تیره در می‌آید که این تغییر رنگ نشانگر تبدیل مونومر به پلیمر است. پس از تشکیل پلیمر با استفاده از سانتریفیوژ ۱۵۰۰ دور بر دقیقه به مدت ۳۰ دقیقه، پلیمر جدا شده و جهت تهیه پودر به مدت ۲۴ ساعت در آون در دمای ۵۰ °C خشک شده است.

۳-۲- سنتز نانوکامپوزیت پلی‌آنیلین/پلی‌وینیل کلرايد

۵۰ میلی‌لیتر محلول اسید سولفوریک یک مولار حاوی یک گرم یدات پتابسیم را به محلول ۵۰ میلی‌لیتر اسید سولفوریک یک مولار حاوی ۰/۵ گرم پلی‌وینیل‌کلرید اضافه کرده و سپس ۱ میلی‌لیتر مونومر آنیلین دوبار تقطیر شده به آن تزریق شده

است. این واکنش در دمای ۳۰ درجه سانتی گراد و به مدت ۵ ساعت انجام می شود. پس از تشكیل نانو کامپوزیت، با استفاده از سانتریفوژ ۱۵۰۰ دور بر دقیقه به مدت ۳۰ دقیقه نانو کامپوزیت جدا شده و جهت تهیه پودر به مدت ۲۴ ساعت در آون در دمای 50°C خشک شده است.

۴-۲- سنتز نانو کامپوزیت پلی انیلین / پلی استیرن

برای آماده سازی محلول پلی استیرن، ابتدا 0.08 g آمونیوم پر سولفات به عنوان اکسیدان را به 50 mL لیتر آب مقطر اضافه نموده و در دمای محیط با همزن مغناطیسی به مدت چند دقیقه با 500 rpm هم زده تا محلول یکنواختی حاصل گردد. سپس 6 mL لیتر مونومر استیرن را به محلول تزریق کرده و اجازه داده می شود تا پلیمریزاسیون در دمای 65°C انجام گیرد. 50 mL لیتر اسید سولفوریک یک مولار حاوی یک گرم یدات پتابسیم را به محلول سوسپانسیون پلی استیرن تهیه شده (حاوی 0.08 g آمونیوم پر سولفات و 50 mL لیتر آب مقطر و 6 mL لیتر مونومر استیرن) اضافه کرده و سپس 1 mL لیتر مونومر آنیلین دوبار تقطیر شده به آن تزریق شده است. این واکنش در دمای 30°C درجه سانتی گراد و به مدت ۵ ساعت انجام شده است. پس از تشكیل نانو کامپوزیت با استفاده از سانتریفوژ ۱۵۰۰ دور بر دقیقه به مدت ۳۰ دقیقه محصول را جدا نموده و نانو کامپوزیت به دست آمده جهت تهیه پودر به مدت ۲۴ ساعت در آون در دمای 50°C خشک شده است.

۴-۳- روش جداسازی فلزات سنگین به کمک نانو کامپوزیت های سنتز شده

به منظور جذب سطحی یونهای فلزی از یک سیستم اختلاط کامل ناپیوسته (Batch) استفاده شده است. به همین منظور 25 g از جاذب (نانو کامپوزیتهای سنتز شده) را به 25 mL لیتر آب محتوی یون مربوطه اضافه و به مدت ۳۰ دقیقه با همزن مغناطیسی با دور مشخص اختلاط صورت گرفته است. بعد از اینکه محلول بدست آمده از کاغذ صافی عبور داده می شود و غلظت یون موجود در پساب بدست آمده با استفاده از دستگاه جذب اتمی اندازه گیری شده است. پارامتر هایی که در این آزمایش مدنظر قرار داده شده است عبارت است از: زمان بهینه برای اختلاط کامل، تعیین pH بهینه و تأثیر غلظت یون ها بر درصد جذب. برای محاسبه درصد جذب کاتیون از رابطه زیر استفاده شده که در آن C_0 غلظت اولیه یون فلزی بر حسب میلی گرم بر لیتر ($\text{mg} \cdot \text{L}^{-1}$) و C_e غلظت تعادلی یون فلز جذب شده در زمان ($\text{mg} \cdot \text{L}^{-1}$) می باشد.

$$\% \text{ Removal} = (C_0 - C_e) / C_0 \times 100\% \quad (1)$$

۴-۴- ایزو ترم لانگمویر

لانگمویر مدل جدیدی از جذب سطحی هم دما را برای گاز های جذب شونده بر روی جامدات ارائه نمود. این مدل یک هم دمای نیمه تجربی است که برای یک سیستم سینتیکی شناخته شده ارائه شده است، که بر پایه چهار فرض بنیان نهاده شده

است [۱۲]. الف) سطح جاذب یکنواخت بوده و تمامی پایانه های جذب یکسانند. ب) مولکول های جذب شده بر یکدیگر اثری ندارند. ج) تمامی فرایند های جذب با یک مکانیسم انجام می گیرند. د) در حداکثر مقدار جذب، فقط یک لایه تشکیل می شود، مولکول های جذب شونده بر روی ماده دیگری جذب نمی شوند، و فقط بر روی سطح خالی جاذب جذب می گردد.

فرم خطی متداول معادله لانگمیر برای جذب شونده های مایع بصورت زیر می باشد :

$$\frac{C_{eq}}{q_{eq}} = \frac{1}{Kq_{max}} + \frac{C_{eq}}{q_{max}} \quad (2)$$

که در معادله فوق q_{eq} میزان جذب تعادلی ، C_{eq} غلظت تعادلی جذب شونده و q_{max} حداکثر میزان جذب ممکن می باشد. K نیز ثابت معادله لانگمیر است. از این رو با رسم نمودار C_{eq}/q_{eq} بر حسب C_{eq} و با توجه به نمودار بدست آمده و شیب خط و عرض از مبدأ ثابت های ایزوترم لانگمیر بdst می آید. از طرفی با محاسبه پارامتر بدون بعد R_L ، ثابت جداسازی، میتوان ساختار ایزوترم را مورد بررسی قرار داد. بنا بر تعریف داریم:

$$R_L = \frac{1}{1 + K_L C_0} \quad (3)$$

که برای $R_L = 1$ ایزوترم جذب خطی، در محدوده $0 < R_L < 1$ جذب بصورت مطلوب، در $R_L > 1$ جذب بصورت نامطلوب و در $R_L = 0$ جذب بصورت برگشت ناپذیر است.

۲-۵-۲- ایزوترم فرونالیج

معادله فرنالیج، معادله ای مناسب برای جاذب بر روی سطوح ناهمگن بوده و به یکی از دو فرم زیر خواهد بود [۱۴] :

$$\log q_{eq} = \log K_f + \frac{1}{n} \log C_{eq} \quad (4)$$

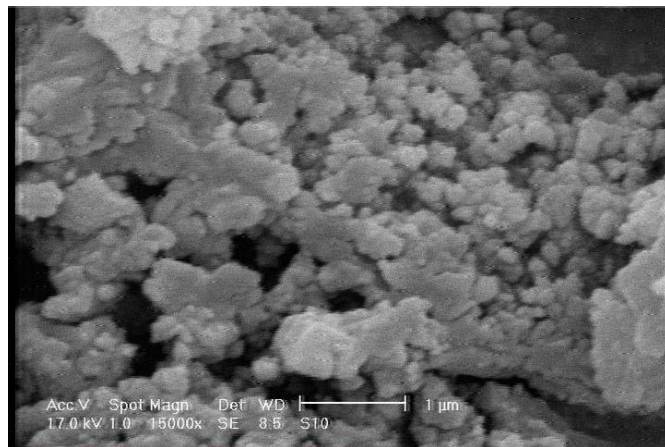
از این رو با رسم نمودار $\log q_{eq}$ بر حسب C_{eq} خطی راست بدست آمده که از شیب و عرض از مبدا نمودار به ترتیب $n/1$ و $K_f/1$ حاصل می شود. $n/1$ به فاکتور ناهمگونی معروف بوده و بین صفر و یک تغییر می کند. هر چه سطح ناهمگن تر باشد مقدار $n/1$ به صفر نزدیک بوده، یعنی n عدد بزرگتری است. طبق بررسی های انجام شده مقادیر n در محدوده $2-10$ ، جذب سطحی قوی، در محدوده $1-2$ جذب سطحی نسبتا مشکل و مقادیر n کمتر از ۱ جذب سطحی ضعیفی را نشان می دهد [۱۵].

۳- بحث و نتایج

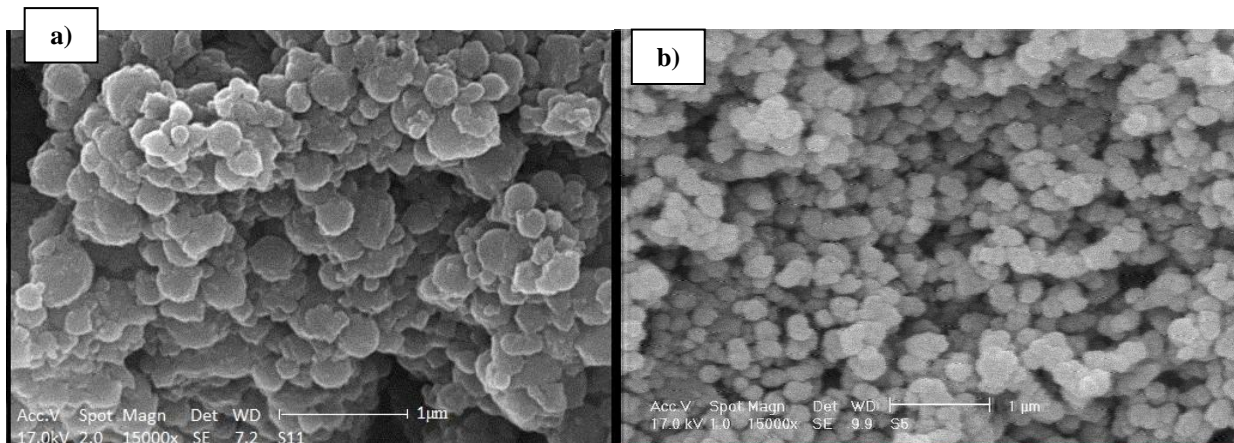
۳-۱- بررسی مورفولوژی نانوکامپوزیت های سنتز شده بکمک SEM

مورفولوژی و شکل شناسی پلی آنیلین و نانوکامپوزیت های آن در محیط آبی به کمک میکروسکوپ الکترونی بررسی شده و نتایج نشان می دهد که با توجه به اثر متقابل شدید زنجیرهای داخلی، کامپوزیت پلی آنیلین بر پایه پلی استیرن به شکل

کلوجهای در آمده است. استفاده از پلی‌وینیل کلراید در ساختار نانوکامپوزیت باعث می‌شود تا نانوکامپوزیت بدست آمده ساختاری توده‌ای و درشت‌تر نسبت به پلی‌آئیلین داشته باشد (شکل‌های ۱ و ۲).



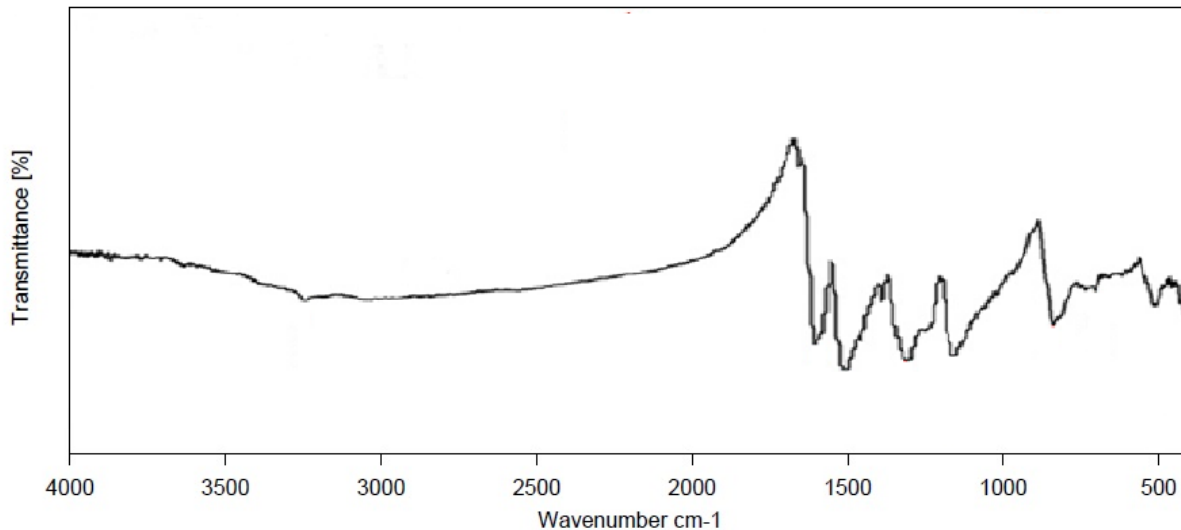
شکل ۱- تصویر میکروسکوپ الکترونی پلی‌آئیلین در محیط اسید سولفوریک (۲) محلول مشابه جهت بررسی تکرارپذیری آماده شده است



شکل ۳- تصویر میکروسکوپ الکترونی (a) پلی‌آئیلین /پلی‌استیرن و (b) پلی‌آئیلین/پلی‌وینیل کلراید (۲) محلول مشابه جهت بررسی تکرارپذیری برای هر نمونه آماده شده است

۲-۳- بررسی ساختار و نوع گروه عاملی نانوکامپوزیت های سنتز شده بکمک FTIR

ساختمان نانوکامپوزیت های تهیه شده از طریق طیف FTIR بررسی شده است. طیف سنج FTIR اطلاعات مهمی درخصوص ساختار نانوکامپوزیت های تهیه شده ارائه می دهد. طیف های FTIR ارائه شده در این تحقیق در محدوده $4000\text{-}4000\text{ cm}^{-1}$ می باشد.

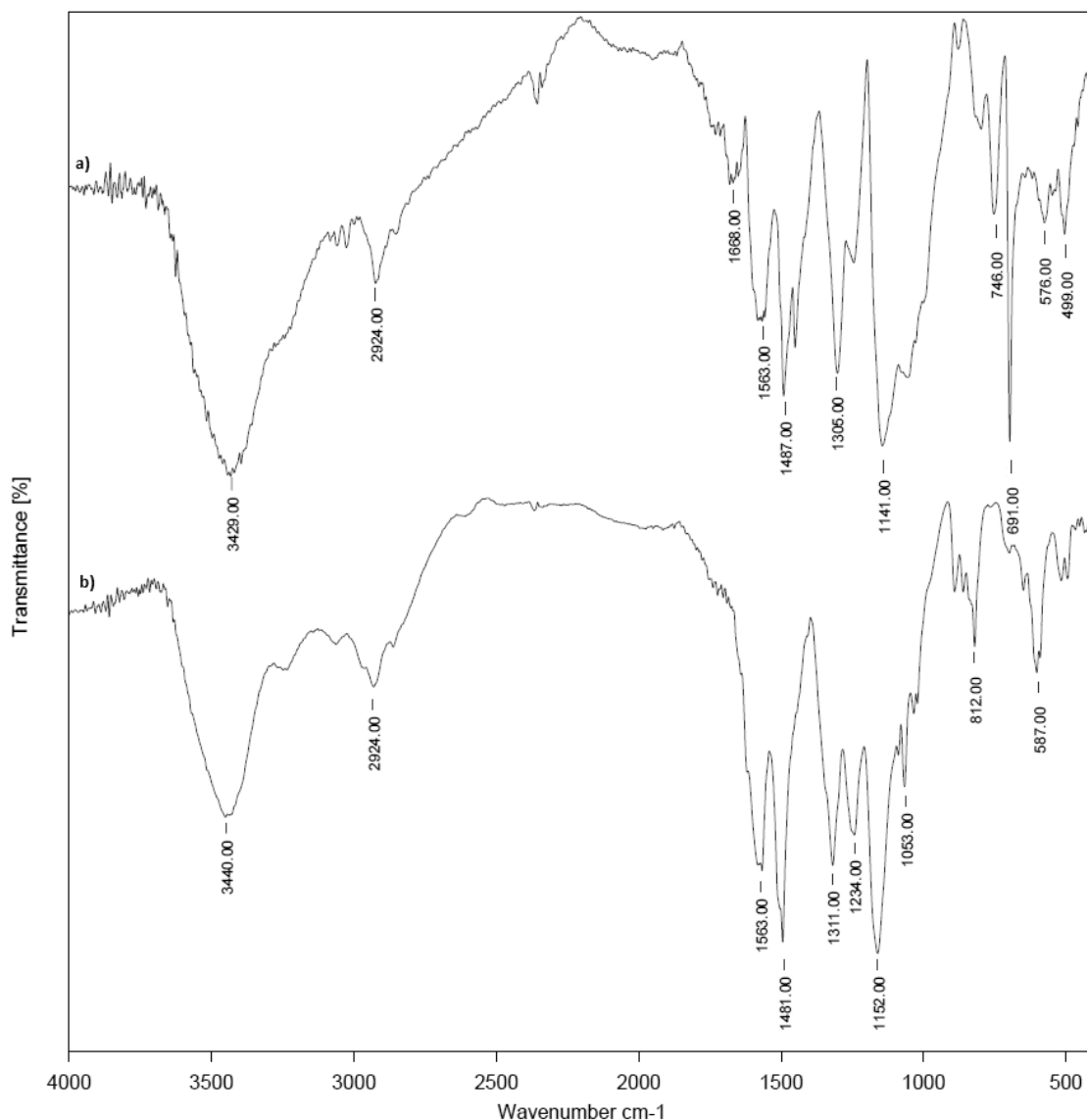


شکل ۳- طیف FTIR پلی آنیلین

در شکل (۳) پیکهای اصلی ساختار شیمیایی پلی آنیلین نشان داده شده است. پیکهای مهم برای پلی آنیلین، پیک 1494 cm^{-1} و 1568 cm^{-1} مربوط به کشش ارتعاشی پیوندهای $\text{C}=\text{C}$ و $\text{C}-\text{C}$ حلقه های کینوئیدی و بنزوئیدی، پیک 1137 cm^{-1} مربوط به کشش ارتعاشی $\text{C}-\text{N}$ واحد بنزوئید، پیک 1297 cm^{-1} درون صفحه $\text{C}-\text{H}$ و پیک 809 cm^{-1} مربوط به ارتعاش تغییر شکل $\text{C}-\text{H}$ بیرون از صفحه می باشد. طیف های پلی آنیلین بدست آمده از آنالیز با نتایج دیگر پژوهش ها مطابقت دارد.

شکل (۴) ساختمان شیمیایی نانوکامپوزیت های پلی آنیلین / پلی وینیل کلرايد و پلی آنیلین / پلی استیرن را نشان می دهد. طیف ساختار شیمیایی نانوکامپوزیت پلی آنیلین / پلی استیرن در شکل (۴(a)) نشان داده شده است. که عبارتند از پیک های FTIR 1487 cm^{-1} و 1563 cm^{-1} مربوط به ارتعاش کششی پیوندهای $\text{C}=\text{C}$ و $\text{C}-\text{C}$ حلقه های کینوئیدی و بنزوئیدی، پیک 1141 cm^{-1} مربوط به ارتعاش کششی پیوند $\text{C}-\text{N}$ واحد بنزوئید، پیک 1305 cm^{-1} درون صفحه، پیک $709/2\text{ cm}^{-1}$ مربوط به ارتعاش تغییر شکل پیوند $\text{C}-\text{H}$ بیرون از صفحه مربوط به ساختار شیمیایی پلی آنیلین می باشد و همچنین پیک 3057 cm^{-1} مربوط به ارتعاش کششی پیوند $\text{C}-\text{H}$ آروماتیکی، 2348 cm^{-1} مربوط به ارتعاش کششی پیوند $\text{C}-\text{H}$ متیلنی و 1668 cm^{-1} مربوط به ارتعاش کششی پیوند $\text{C}=\text{C}$ در صفحه حلقه آروماتیک مربوط به

ساختار شیمیایی پلی استیرن می باشد. پیک های اصلی نشان دهنده تشکیل نانو کامپوزیت پلی آنیلین / پلی وینیل کلراید در شکل (b) نشان داده شده است، که عبارتند از پیک 1568 cm^{-1} و 1481 cm^{-1} مربوط به ارتعاش کششی پیوندهای $\text{C}=\text{C}$ و $\text{C}=\text{C}$ حلقه های کینوئیدی و بنزوئیدی، پیک 1311 cm^{-1} مربوط به ارتعاش کششی پیوند $\text{C}-\text{N}$ واحد بنزوئید، پیک 1152 cm^{-1} مربوط به ارتعاش تغییر شکل پیوند $\text{C}-\text{H}$ درون صفحه، پیک 842 cm^{-1} مربوط به ارتعاش تغییر شکل پیوند $\text{C}-\text{H}$ بیرون از صفحه مربوط به ساختار شیمیایی پلی آنیلین می باشد و همچنین پیک 1425 cm^{-1} مربوط به ارتعاش خمشی پیوند $\text{C}-\text{H}$ و پیک مشخصه 603 cm^{-1} مربوط به ارتعاش کششی پیوند $\text{C}-\text{Cl}$ مربوط به ساختار شیمیایی پلی وینیل کلراید هستند.



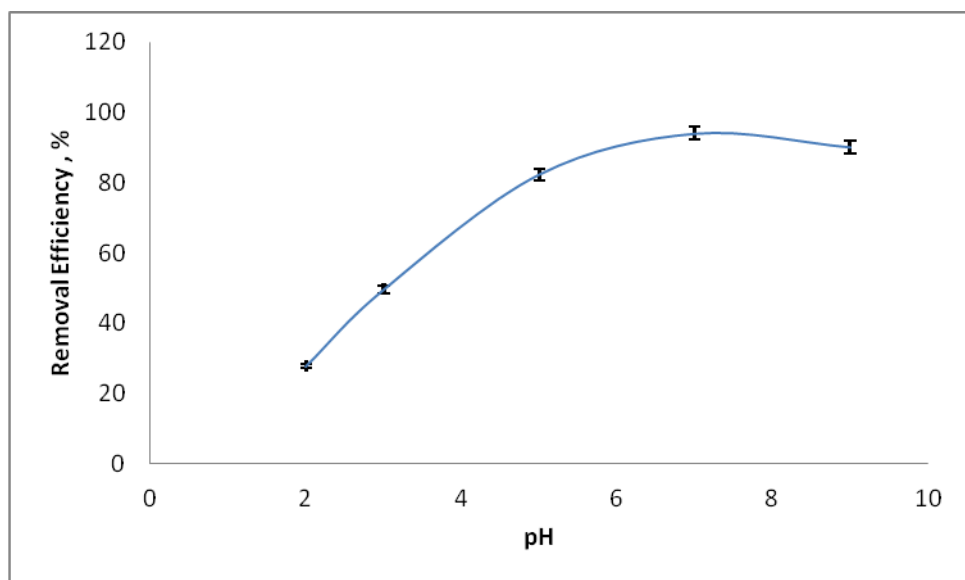
شکل ۴ - طیف FTIR نانو کامپوزیت های (a) پلی آنیلین / پلی استیرن و (b) پلی آنیلین / پلی وینیل کلراید

جهت بررسی تکرار پذیری روش به کار برده شده برای آماده سازی نمونه ها، ۶ محلول مشابه برای پلی آنیلین و نانو کامپوزیت های آن تهیه، و مشخصات آنها مطابق روش پیشنهادی انجام و صحت تکرار پذیری نمونه بررسی شده است.

۳-۲-۳- تاثیر پارامترهای مختلف بر کارایی جذب سطحی کاتیون‌های فلزی

۳-۳-۱- بررسی تاثیر اسیدیته محلول بر روی جداسازی کاتیون فلزی

با توجه به اینکه اسیدیته محلول بر جداسازی کاتیون‌ها تاثیر گذار است. جهت بررسی تاثیر pH بر روی جداسازی کاتیون با توجه به اینکه اسیدیته محلول بر جداسازی کاتیون‌ها تاثیر گذار است. جهت بررسی تاثیر pH بر روی جداسازی کاتیون با توجه به اینکه اسیدیته محلول بر جداسازی کاتیون‌ها تاثیر گذار است. سرب از محلول آبی، از نانوکامپوزیت پلی‌آنیلین/پلی‌وینیل کلرايد استفاده شده است. اسیدیته محلول می‌تواند بر مکانهای جذب یونهای فلزی در سطح جاذب و ساختار شیمیایی فلز در آب تأثیر زیادی داشته باشد [۱۶]. در شکل (۵) اثر تغییر pH بر روی درصد جداسازی سرب با استفاده از نانوکامپوزیت پلی‌آنیلین/پلی‌وینیل کلرايد نشان داده شده است.

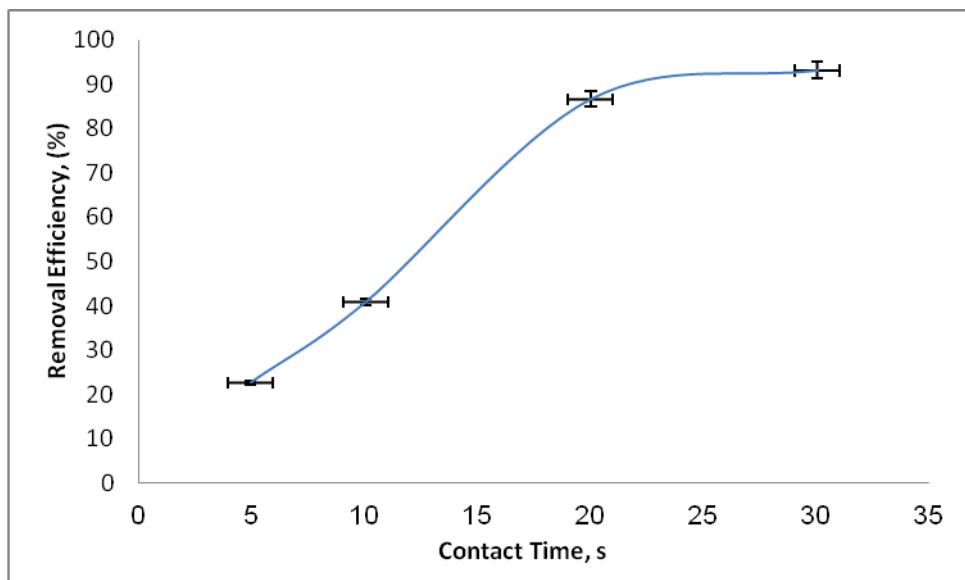


شکل ۵- تاثیر pH بر روی جداسازی کاتیون سرب با نانوکامپوزیت پلی‌آنیلین/پلی‌وینیل کلرايد (غلظت اولیه محلول، زمان تماس، حجم محلول و مقدار جاذب به ترتیب ۱۰۰ میلی‌گرم بر لیتر، ۳۰ دقیقه، ۲۵ میلی‌لیتر و ۰/۲۵ گرم)

با افزایش pH محلول، درصد حذف افزایش یافته، به گونه‌ای که بیشترین میزان حذف در pH حدود ۷ مشاهده می‌شود در pH های بالا یونهای OH^- موجود در محلول با یونهای فلزی تشکیل کمپلکس داده و حذف از طریق رسوب‌دهی نیز انجام می‌شود بنابراین بخشی از میزان حذف در pH بالا مربوط به رسوب‌دهی می‌باشد. نتایج مشابهی برای حذف کاتیون‌ها از محلول آبی در مطالعات پیشین گزارش شده است [۱۷]. برای ادامه آزمایشات از pH=7 بعنوان مبنای محاسبه استفاده شده است. خطای مشخص شده بر روی نمودار مربوط به خط استنگاه می‌باشد.

۳-۳-۲- بررسی تأثیر زمان اختلاط بر روی میزان جداسازی کاتیون سرب

جهت تعیین زمان اختلاط تعادلی برای جداسازی کاتیون‌ها از محلول آبی، زمان‌های مختلف ۵، ۱۰، ۲۰، ۳۰ دقیقه مورد بررسی قرار گرفته شده است. همچنین شکل (۶) اثر تغییر زمان اختلاط را بر درصد جداسازی کاتیون سرب با استفاده از نانوکامپوزیت پلی‌آنیلین/پلی‌وینیل کلرايد نشان داده است.

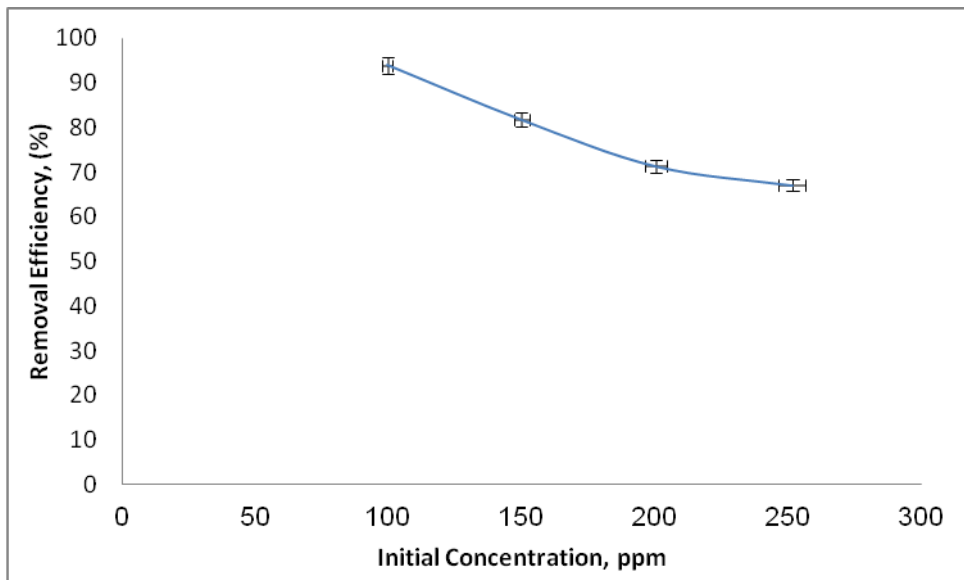


شکل ۶- تاثیر زمان تماس بر روی جداسازی کاتیون سرب با نانو کامپوزیت پلی آنیلین / پلی وینیل کلراید (غلظت اولیه محلول، pH محلول، حجم محلول و مقدار جاذب به ترتیب ۱۰۰ میلی گرم بر لیتر، ۷، ۲۵ میلی لیتر و ۰/۲۵ گرم)

همانطور که در شکل (۶) دیده می شود جذب کاتیون بر سطح نانو کامپوزیت در زمانهای اولیه ۵، ۱۰، ۲۰ دقیقه با سرعت بیشتری انجام شده است. ولی از زمان ۲۰ دقیقه به بعد سرعت جذب کاهش می یابد. اشباع شدن سطح نانو کامپوزیت ها و رسیدن به غلظت تعادلی، موجب کند شدن سرعت جذب می گردد. خطای مشخص شده بر روی نمودار مربوط به خطا دستگاه می باشد.

۳-۳-۳- بررسی تاثیر غلظت کاتیون های سرب بر روی میزان جداسازی

یکی دیگر از پارامترهای مؤثر بر فرایند جذب سطحی، غلظت اولیه یونهای فلزی در محلول است. زیرا به دلیل ایجاد پتانسیل انتقال جرم تاثیر زیادی بر روی میزان جذب یون از محلول می گذارد [۱۸]. شکل (۷) اثر تغییر میزان غلظت کاتیون سرب را بر درصد جداسازی با استفاده از نانو کامپوزیت پلی آنیلین / پلی وینیل کلراید نشان داده است.



شکل ۷- اثر تغییر میزان غلظت کاتیون سرب با استفاده از نانوکامپوزیت پلی آنیلین/پلی وینیل کلراید (زمان تماس، pH محلول، حجم محلول و مقدار جاذب به ترتیب ۳۰ دقیقه، ۷، ۲۵ میلی لیتر و ۰/۲۵ گرم)

با توجه به ثابت بودن وزن جاذب استفاده شده و در نتیجه ثابت بودن سطوح فعال در این آزمایش‌ها، افزایش غلظت کاتیون‌های موجود در محلول و ثابت بودن سطوح فعال منجر به کاهش درصد جداسازی می‌شود. زیرا افزایش رقابت بین مولکولهای جذب شونده و برخورد و دافعه میان آنها موجب کاهش درصد جداسازی می‌شود. این تغییرات در محدوده غلظت‌های پایین‌تر کمتر است، زیرا نسبت مقدار اولیه کاتیون‌ها به مکان‌های فعال جذب در دسترس کمتر بوده و لذا بازده جذب کمتر به غلظت اولیه وابسته است. با افزایش غلظت این تغییرات چشمگیرتر می‌شود. بنابراین برای ادامه از غلظت ۱۰۰ میلی‌گرم بر لیتر برای کاتیون‌ها استفاده شده است. خطای مشخص شده بر روی نمودار مربوط به خط‌دادهای جدول (۱) درصد جداسازی کاتیون‌های سرب و روی را برای سایر کامپوزیت‌ها و همچنین جاذب طبیعی کربن اکتیو نشان می‌دهد.

کربن فعال استفاده شده در این آزمایش بصورت گرانولی می‌باشد. مطالعاتی که در خصوص جذب کاتیون‌ها توسط کربن فعال انجام شده، نشان می‌دهد که کربن فعال در pH های بالا دارای قدرت جذب بالاتری نسبت به محیط اسیدی می‌باشد زیرا در محیط‌های اسیدی، پروتون بر روی مکانهای فعال موجود روی سطح کربن فعال می‌نشیند و موجب شده تا از تشکیل پیوند بین کاتیون‌ها و مکان‌های فعال روی آن جلوگیری کند [۱۹].

جدول ۱. درصد جداسازی برای حذف کاتیون های سرب و روی با استفاده از جاذب های مختلف (pH=۷ ، غلظت اولیه کاتیون: ۱۰۰ ppm، زمان تماس: ۳۰ دقیقه)

نانو کامپوزیت	کاتیون روی			کاتیون سرب			درصد جداسازی
	غلظت اولیه (ppm)	غلظت نهایی (ppm)	درصد جداسازی	غلظت اولیه (ppm)	غلظت نهایی (ppm)	درصد جداسازی	
پلی آنیلین / پلی استیرن	۱۰۰	۵/۴۸	۹۴/۵۲	۱۰۰	۱۰/۱۹	۸۹/۸۱	
پلی آنیلین / پلی وینیل کلراید	۱۰۰	۴/۱۴	۹۵/۸۶	۱۰۰	۶/۶	۹۳/۴	
کربن فعال	۱۰۰	۱۰/۲۵	۸۹/۷۵	۱۰۰	۱۵/۷۱	۸۴/۲۹	

زمانی که ملکولها و یونهای فلزی پیوند کووالنسی برقرار می کنند و تشکیل کمپلکس می دهند، از محلول آبی جدا می شوند. در حقیقت برخی مولکولها دارای جفت الکترون آزاد در چند بخش جداگانه هستند که می توانند لیگاند چند دانه ای ایجاد کنند و بیشتر از یک موقعیت کوئردنیاسیونی خواهند داشت. لیگاندها این یونهایی هستند که جفت الکترون آزاد دارند. به دلیل کوچک بودن شعاع یونهای فلزی این لیگاندها می توانند با آنها پیوند کووالنسی برقرار کنند. بنابراین در اینجا توانایی نسبی اتم های S و N برای جذب الکترون آزاد و تشکیل کمپلکس با یونهای فلزی مهمترین عامل در جداسازی کاتیون های فلزات سنگین از محلول آبی با استفاده از نانو کامپوزیت های تیوفن و آنیلین می باشد.

۴-۳-۳- بررسی ایزو ترم جذب

ایزو ترم های جذب جهت توصیف ظرفیت جذب به منظور آسان کردن ارزیابی امکان سنجی این فرایند در نظر گرفته شده و برای آنالیز و طراحی سیستم جذب مفید می باشد. ایزو ترم های جذب برای جذب کاتیون سرب توسط نانو کامپوزیت های پلی آنیلین با استفاده از معادله جذب لانگمویر و فرندلیچ در جدول (۲) آورده شده است.

جدول ۲. ضرایب و ثابت ها معادلات جذب برای حذف کاتیون سرب

نانو کامپوزیت	لانگمویر				فرندلیچ		
	q _m	K _L	R _L	R ²	n	K _f	R ²
پلی آنیلین / پلی استیرن	۲۲/۸	۰/۰۶	۰/۱۴۳	۰/۹۷۵	۲/۵۳	۳/۷۷	۰/۹۴۸
پلی آنیلین / پلی وینیل کلراید	۳۰/۳	۰/۵۵	۰/۰۱۸	۰/۸۵۹	۲/۰۸	۳/۶۲	۰/۹۴۳

همانطور که در جدول (۲) مشاهده می شود و با توجه به ضرایب همبستگی، بهترین مدل جذب که داده های تجربی را برای نانو کامپوزیت های مختلف بخوبی پوشش داده است، معادله جذب فرندلیچ می باشد.

۴- نتیجه گیری

در این مقاله نانوکامپوزیت های پلی آنیلین بر پایه پلی استیرن و پلی وینیل کلراید به روش پلیمریزاسیون شیمیایی تهیه شده و خواص آنها مورد بررسی قرار گرفته است. همچنین توانایی نانوکامپوزیت های سنتز شده جهت جذب سطحی کاتیون های سرب و روی از محلول آبی با استفاده از روش سیستم ناپیوسته بررسی شده است. نانوکامپوزیت های پلی آنیلین بر روی پایه پلی وینیل کلراید دارای ذرات کوچکتری نسبت به نانوکامپوزیت های پلی آنیلین بر روی پلی استیرن می باشد. تشکیل نانوکامپوزیت های سنتز شده توسط آنالیز FTIR به اثبات رسیده است. نتایج به دست آمده از جذب کاتیون های فلزی توسط نانوکامپوزیت های پلی آنیلین نشان می دهد که نانوکامپوزیت های سنتز شده دارای قابلیت بسیار بالایی در حذف کاتیون ها

می باشند. همچنین پارامترهای مختلفی از جمله اسیدیته محلول، زمان اختلاط و غلظت ماده جذب شونده برای جذب سطحی کاتیون سرب به کمک جاذب پلی آنیلین / پلی وینیل کلراید بررسی شده است. بیشترین درصد جذب برای هر دو کاتیون، مربوط به جاذب پلی آنیلین / پلی وینیل کلراید می باشد. درصد جداسازی کاتیون های روی و سرب توسط جاذب پلی آنیلین / پلی وینیل کلراید به ترتیب $95/86$ و $93/4$ محاسبه شده است. همچنین بررسی معادلات ایزوترم جذب نشان داده است که معادله فرنندیج با داده های آزمایشگاهی سازگاری بهتری نشان داده است.

۵- مراجع

- [1] H. Eisazadeh and Z. Vatani, *J. Vinyl. Addit. Technol.*, **19**(4) (2013) 233.
- [2] A. Srivastava, V. singh, A. Chandra, K. Witte, U. W. Scherer and T. V. Singh, *Nucl. Instrum. Methods Phys. Res. Sect. B.*, **245** (2006) 277.
- [3] W. J. Bae, W. H. Jo and Y.H. Park, *Synth. Met.*, **132** (2003) 239.
- [4] A. Mirmohseni, A. Oladegaragoze and M. Farbodi, *Iranian Polymer Journal*, **17** (2) (2008) 135.
- [5] S. Ameena, V. Alia, M. Zulfequara, M. M. Haqb and M. Husaina, *Physica B*, **403** (2008) 2861.
- [6] E. C. Chen, Y. W. Lin and T. M. Wu, *Polym. Degrad. Stab.*, **94** (2009) 550.
- [7] X. Shi, A. L. Briseno, R. J. Sanedrin and F. Zhou, *Macromolecules*, **36** (2003) 4093.
- [8] H. Eisazadeh, *World Applied Sciences Journal*, **3** (2008) 14.
- [9] H. Eisazadeh and Z. Vatani, *Polym.-Plast. Technol. Eng.*, **52** (15) (2013) 1621.
- [10] E. Hossein, H. asefah, *J. Of Applied Chemistry*, **42** (1396) 139, in Persian.
- [11] A. Mahmoud, Y. Razieh, *J. Of Applied Chemistry*, **37** (1394) 87, in Persian.
- [12] A. Eisazadeh, H. Eisazadeh and K. A. Kassim, *Synth. Met.*, **171** (2013) 56.
- [13] C. Gerente, V. K. C. Lee, P. L. Cloirec and G. McKay, *Crit. Rev. Environ. Sci. Technol.*, **37** (2007) 41.

-
- [14] G.W. Van Loon and S. J. Duffy. Environmental Chemistry. Second Edition: Oxford University Press Inc., New York, (2005), 308.
 - [15] N.C. Sawyer, P. L. McCarty and G. F. Parkin. Chemistry for Environmental Engineering. International Edition: Mc. Graw Hill, Singapore, (1994).
 - [16] M. Erdem, H. S. Altundogan and F. Tumen, *Miner. Eng.*, **17** (2005) 1045.
 - [17] R.W. Gaikwad, *Iranica journal of Energy and Environment*, **3**(4) (2012) 314.
 - [18] H. Hasar, Y. Cucil, E. Obek and M. F. Dilekoglu, *Adsorpt. Sci. Technol.*, **21**(9) (2003)-799.
 - [19] P. K. Amarasinghe and R. A. Williams, *Chem. Eng. J.*, **132** (2005) 299.